

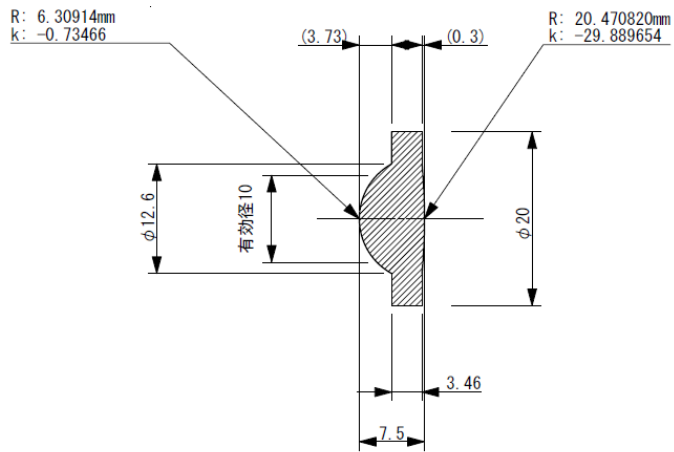
形状誤差や屈折率分布を扱う 光線追跡法のための技術

2023/07/31

会津大学 西館 陽平

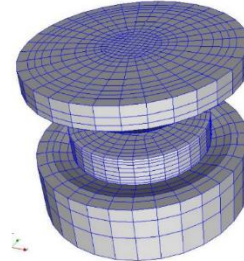
シミュレーション結果から光線追跡

1. 設計



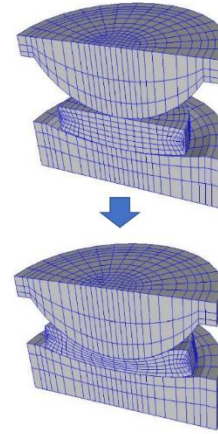
2. 解析メッシュ作成

モデリング

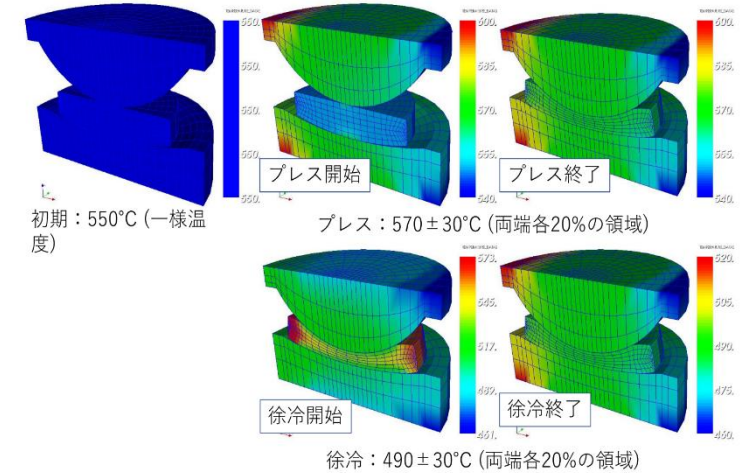


360度モデリング
5867節点、4545要素

計算時間: 7.3時間 (CPU確認/ITCのDELL)



3. 成型シミュレーション



※ V-Glace資料より (インテグレーションテクノロジー)

従来の
開発プロセス



V-Glace
開発プロセス



…シミュレーション期間

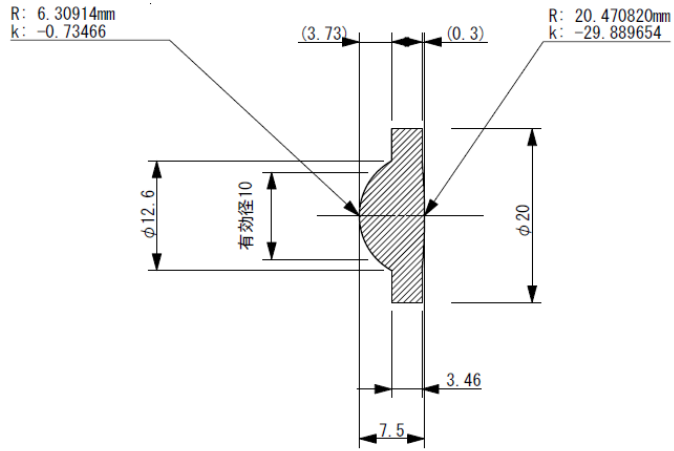
…成形・プリフォーム変更、金型修正の繰り返し

できあがるレンズ性能の事前評価

実際に試作する回数を減らしつつ、
設計や成形条件の見直しができる

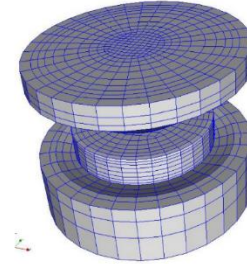
シミュレーション結果から光線追跡

1. 設計



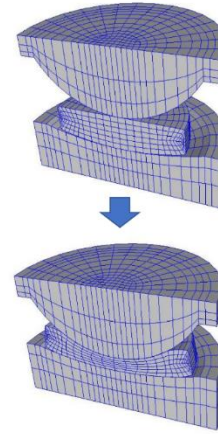
2. 解析メッシュ作成

モデリング

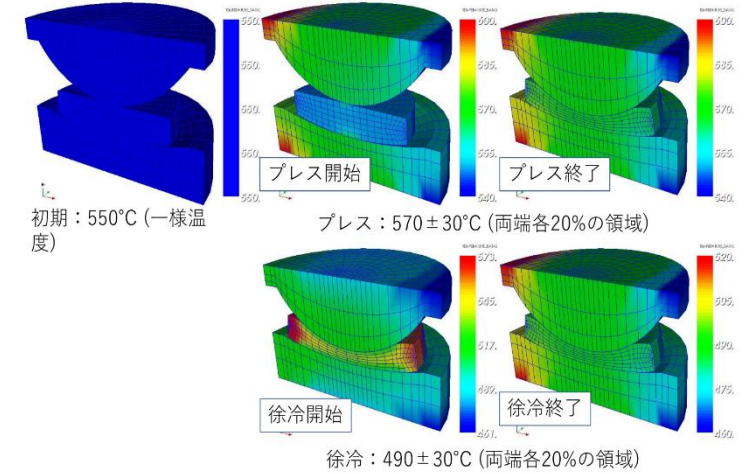


360度モデリング
5867節点、4545要素

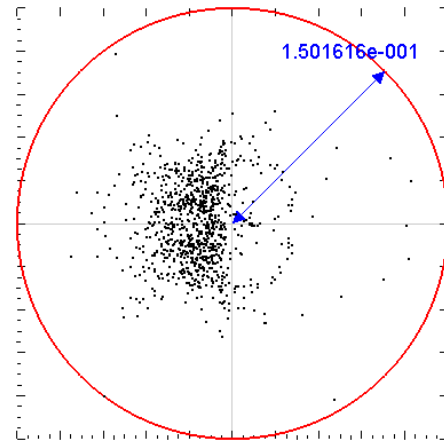
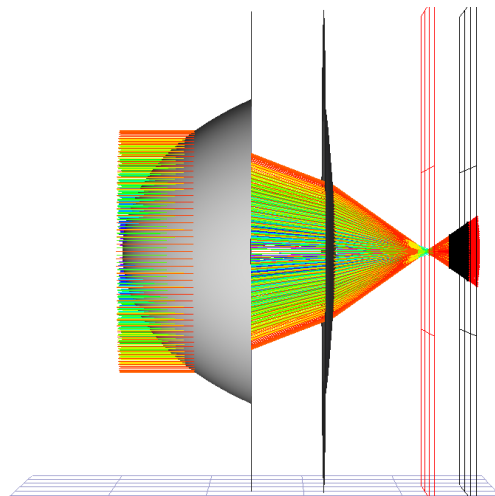
計算時間: 7.3時間 (CPU確認/ITCのDELL)



3. 成型シミュレーション



4. 光線追跡



実際の性能を評価するには光を通したい

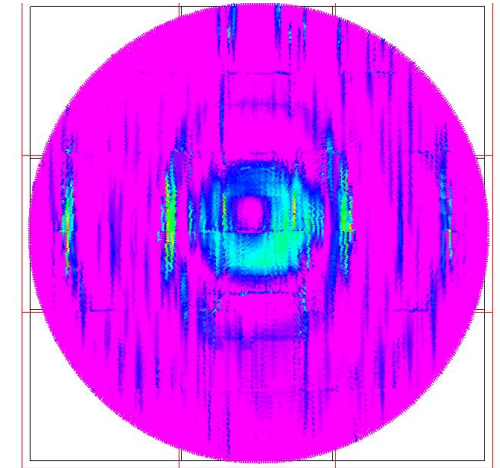
- 変形後の表面形状を再現する面表現
- 屈折率分布を考慮

より現実に近いトリアル&エラーができる

実測点群から光線追跡

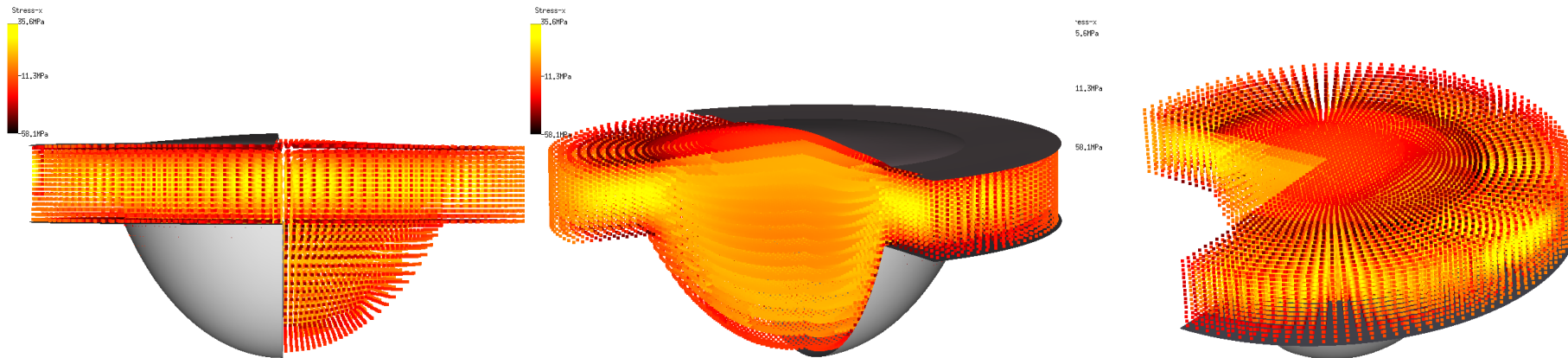
1. 設計形状からの変形（形状誤差）を扱えるような面表現

金型形状誤差
熱収縮
など

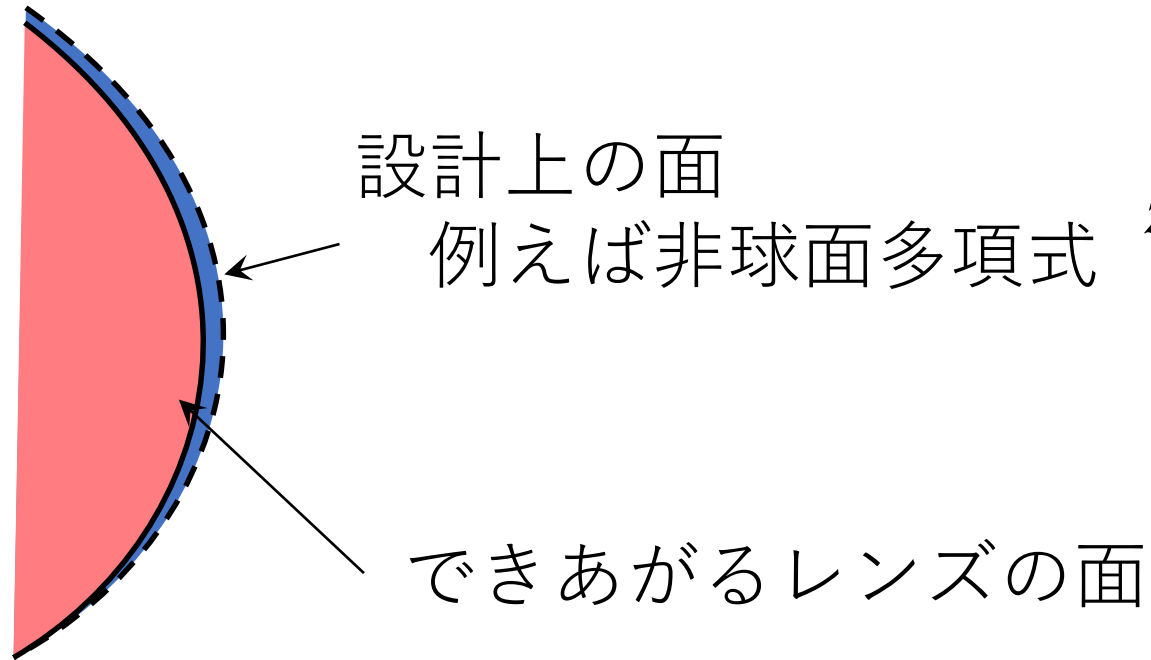


2. 屈折率分布を扱えるような面表現

熱収縮による内部密度分布



表面形状の再現



$$z(r) = \frac{cr^2}{1 + \sqrt{1 - (k+1)c^2r^2}} + \sum_{i=1}^n a_i r^i$$

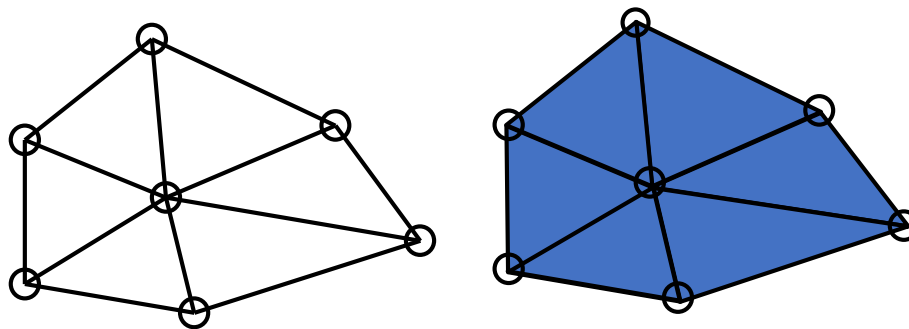
接触ツールなどで面位置を取る → 計測点群

シミュレーションで変形を計算
V-Glance → 要素点群

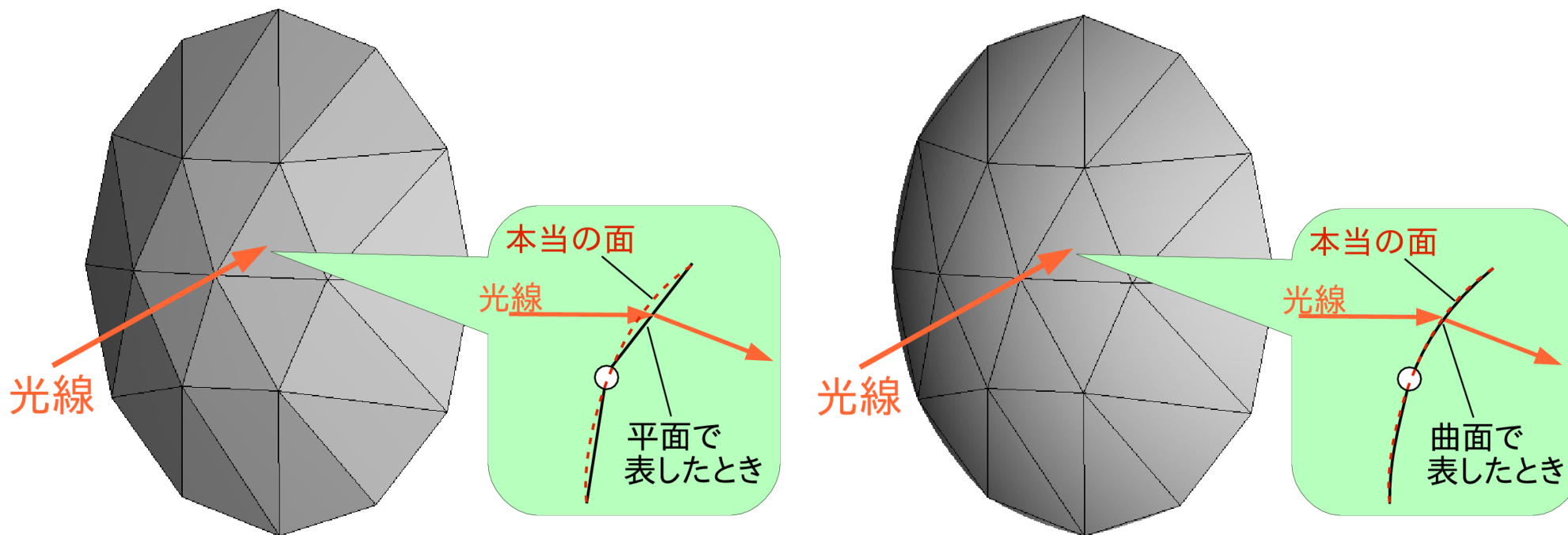
点群をどうやって
面にするか？

表面形状の再現

1. サンプル点を繋ぐ



2. 区分的な曲面で埋める



レンズ面の曲面パッチによる表現方法

- Bezierパッチ
- Splineパッチ など

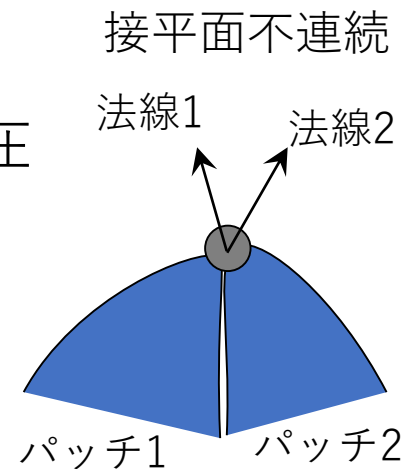
隣接パッチ間の接続 → パラメータの調整が必要

線とパッチの交差 → 高次式を再帰的解法で解くかパッチ細分化

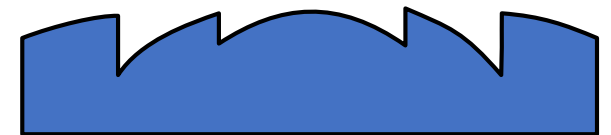
- Nagataパッチ T. Nagata, Comput.Aided Geom.Des. 22 (2005)

隣接パッチ間の接続 → C^0 接続

線とパッチの交差 → 閉式解が存在

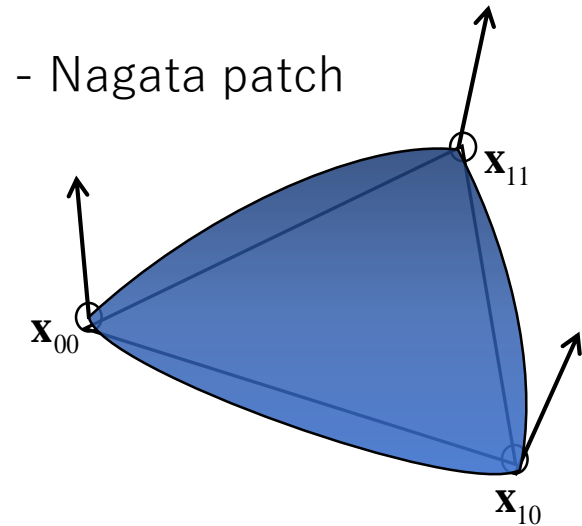


例：フレネルレンズ



マイクロレンズアレイ等

Nagataパッチの特徴



- 隣接要素の情報を必要としない（局所的）
- 頂点座標とその位置での法線ベクトルのみから決まる（フリーパラメータが無い）
- 不連続面が比較的簡単に扱える
- 既存のコードに簡単に組み込める
- 線との交差判定に閉式解が存在する

Nagata patch曲率パラメータc

$$c = \mathbf{n}_0 \cdot \mathbf{n}_1$$
$$\mathbf{c}(\mathbf{d}, \mathbf{n}_0, \mathbf{n}_1) = \begin{cases} \frac{[\mathbf{n}_0, \mathbf{n}_1]}{1 - c^2} \begin{bmatrix} 1 & -c \\ -c & 1 \end{bmatrix} \begin{Bmatrix} \mathbf{n}_0 \cdot \mathbf{d} \\ -\mathbf{n}_1 \cdot \mathbf{d} \end{Bmatrix} & (c \neq \pm 1) \\ 0 & (c = \pm 1) \end{cases}$$

Nagata patch補間式

$$\mathbf{x}(\eta, \zeta) = \mathbf{c}_{00} + \mathbf{c}_{10}\eta + \mathbf{c}_{01}\zeta + \mathbf{c}_{11}\eta\zeta + \mathbf{c}_{20}\eta^2 + \mathbf{c}_{02}\zeta^2$$
$$0 \leq \zeta \leq \eta \leq 1$$

Nagata patch係数 (ベクトル)

$$\begin{aligned} \mathbf{c}_{00} &= \mathbf{x}_{00} \\ \mathbf{c}_{10} &= \mathbf{x}_{10} - \mathbf{x}_{00} \\ \mathbf{c}_{01} &= \mathbf{x}_{11} - \mathbf{x}_{10} + \mathbf{c}_1 - \mathbf{c}_3 \\ \mathbf{c}_{11} &= \mathbf{c}_3 + \mathbf{c}_1 - \mathbf{c}_2 \\ \mathbf{c}_{20} &= \mathbf{c}_1 \\ \mathbf{c}_{02} &= \mathbf{c}_2 \end{aligned}$$

光線と長田パッチの交点

線の式

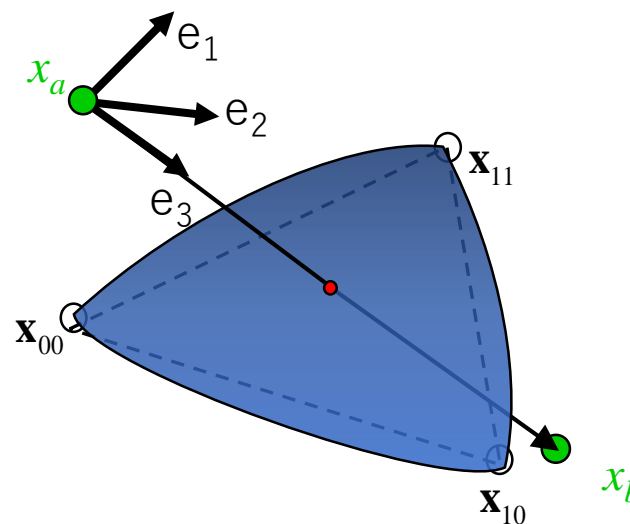
$$\mathbf{x}(\lambda) = \mathbf{x}_a + \lambda(\mathbf{x}_b - \mathbf{x}_a)$$

λ : 線パラメータ $0 \leq \lambda \leq 1$

パッチの式

$$\mathbf{x}(\eta, \zeta) = \mathbf{c}_{00} + \mathbf{c}_{10}\eta + \mathbf{c}_{01}\zeta + \mathbf{c}_{11}\eta\zeta + \mathbf{c}_{20}\eta^2 + \mathbf{c}_{02}\zeta^2$$

η, ζ : 長田パッチローカル座標 $0 \leq \zeta \leq \eta \leq 1$



η に関する4次式

$$M\eta^4 + N\eta^3 + O\eta^2 + P\eta + Q = 0$$

四次式の係数例

$$\eta^4 + \frac{N}{M}\eta^3 + \frac{O}{M}\eta^2 + \frac{P}{M}\eta + \frac{Q}{M} = 0$$

実際にあった係数例

$$M = 5.192888526898500391 \times 10^{-15}$$

$$N = -4.486263940756543575 \times 10^{-10}$$

$$O = 7.716859489056386641 \times 10^{-6}$$

$$P = -1.543408488167771092 \times 10^{-5}$$

$$Q = 7.717672070788253452 \times 10^{-6}$$

$$\eta_1 : 6.2687708 \times 10^4$$

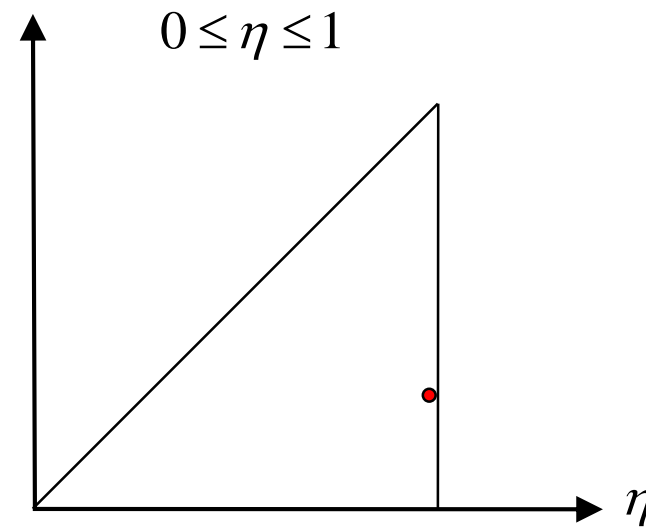
$$\eta_2 : 2.3702748 \times 10^4$$

$$\eta_3 : 1.000110929886432$$

$$\eta_4 : 1.000110929890070$$

本当の解 $\eta_3 : 0.99959698$

$\eta_4 : 1.00062487$



- 絶対値の小さな解の精度がかなり落ちている

交差判定の式

➤ 交差判定の式 $M\eta^4 + N\eta^3 + O\eta^2 + P\eta + Q = 0$

Nagata patch補間式

$$\mathbf{x}(\eta, \zeta) = \mathbf{c}_{00} + \mathbf{c}_{10}\eta + \mathbf{c}_{01}\zeta + \mathbf{c}_{11}\eta\zeta + \mathbf{c}_{20}\eta^2 + \mathbf{c}_{02}\zeta^2$$

$$M = \alpha_{11}\mu_1 + \alpha_{20}^2\beta_{02}$$

$$N = \alpha_{01}\mu_1 + \alpha_{11}\mu_2 + 2\alpha_{10}\alpha_{20}\beta_{02}$$

$$O = \alpha_{01}\mu_2 + \alpha_{11}\mu_3 + \beta_{02}(\alpha_{10}^2 + 2\alpha_{00}\alpha_{20})$$

$$P = \alpha_{01}\mu_3 + \alpha_{11}\mu_4 + 2\alpha_{00}\alpha_{10}\beta_{02}$$

$$Q = \alpha_{01}\mu_4 + \alpha_{00}^2\beta_{02}$$

係数 α の意味:	α_{η} 次数 ζ 次数	$\alpha_{ij} = \begin{cases} \mathbf{e}_1 \cdot (\mathbf{c}_{ij} - \mathbf{x}_a) & i = j = 0 \\ \mathbf{e}_1 \cdot \mathbf{c}_{ij} & \text{otherwise} \end{cases}$
係数 β の意味:	β_{η} 次数 ζ 次数	

$$\mu_1 = \alpha_{11}\beta_{20} - \alpha_{20}\beta_{11}$$

$$\mu_2 = \alpha_{11}\beta_{10} - \alpha_{10}\beta_{11} + \alpha_{01}\beta_{20} - \alpha_{20}\beta_{01}$$

$$\mu_3 = \alpha_{01}\beta_{10} - \alpha_{10}\beta_{01} + \alpha_{11}\beta_{00} - \alpha_{00}\beta_{11}$$

$$\mu_4 = \alpha_{01}\beta_{00} - \alpha_{00}\beta_{01}$$

交差判定の式

➤ 交差判定の式 $M\eta^4 + N\eta^3 + O\eta^2 + P\eta + Q = 0$

Nagata patch補間式

$$\mathbf{x}(\eta, \zeta) = \mathbf{c}_{00} + \mathbf{c}_{10}\eta + \mathbf{c}_{01}\zeta + \mathbf{c}_{11}\eta\zeta + \mathbf{c}_{20}\eta^2 + \mathbf{c}_{02}\zeta^2$$

$$M = \alpha_{11}\mu_1 + \alpha_{20}^2\beta_{02}$$

(双1次² x 2次) + 2次³

$$N = \alpha_{01}\mu_1 + \alpha_{11}\mu_2 + 2\alpha_{10}\alpha_{20}\beta_{02}$$

(1次 x 双1次 x 2次) + (双1次² x 1次) + (1次 x 2次²)

$$O = \alpha_{01}\mu_2 + \alpha_{11}\mu_3 + \beta_{02}(\alpha_{10}^2 + 2\alpha_{00}\alpha_{20})$$

(1次² x 双1次) + (双1次 x 1次²) + 2次x(1次² + 0次2次)

$$P = \alpha_{01}\mu_3 + \alpha_{11}\mu_4 + 2\alpha_{00}\alpha_{10}\beta_{02}$$

(1次³) + (双1次 x 1次 x 0次) + 0次 x 1次 x 2次

$$Q = \alpha_{01}\mu_4 + \alpha_{00}^2\beta_{02}$$

(1次² x 0次) + (0次² x 2次)

係数 α の意味: α_{η} 次数 ζ 次数 係数 β の意味: β_{η} 次数 ζ 次数	$\alpha_{ij} = \begin{cases} \mathbf{e}_1 \cdot (\mathbf{c}_{ij} - \mathbf{x}_a) & i = j = 0 \\ \mathbf{e}_1 \cdot \mathbf{c}_{ij} & \text{otherwise} \end{cases}$ $\beta_{ij} = \begin{cases} \mathbf{e}_2 \cdot (\mathbf{c}_{ij} - \mathbf{x}_a) & i = j = 0 \\ \mathbf{e}_2 \cdot \mathbf{c}_{ij} & \text{otherwise} \end{cases}$
------------------------------------------------------------------------------------------------	--------------------------------------------------------------------------------------------------------------------------------------------------------------------------------------------------------------------------------------------------------------------------------------------------------------------------------------

$$\mu_1 = \alpha_{11}\beta_{20} - \alpha_{20}\beta_{11}$$

$$\mu_2 = \alpha_{11}\beta_{10} - \alpha_{10}\beta_{11} + \alpha_{01}\beta_{20} - \alpha_{20}\beta_{01}$$

$$\mu_3 = \alpha_{01}\beta_{10} - \alpha_{10}\beta_{01} + \alpha_{11}\beta_{00} - \alpha_{00}\beta_{11}$$

$$\mu_4 = \alpha_{01}\beta_{00} - \alpha_{00}\beta_{01}$$

パッチの2次や双1次の係数は
1次や0次の係数より小さい

長田パッチにおける係数の絶対値傾向

$$M \ll N \ll O, P, Q$$

四次式の解を精度よく

$$M\eta^4 + N\eta^3 + O\eta^2 + P\eta + Q = 0$$

$$\downarrow$$
$$\eta^4 + \frac{N}{M}\eta^3 + \frac{O}{M}\eta^2 + \frac{P}{M}\eta + \frac{Q}{M} = 0$$

$M \ll N \ll O, P, Q$ のとき

$\left| \frac{N}{M} \right|$ は大きい

解と係数の関係

$$\frac{N}{M} = -(\eta_1 + \eta_2 + \eta_3 + \eta_4)$$

から解のうち一つは大きな絶対値を持ち、それが有効桁数の多くを消費している

4次方程式の解

ローカル座標範囲は $0 \leq \zeta \leq \eta \leq 1$

なので絶対値の大きな解の有効桁数は落ちてても問題ない

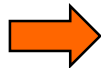
$$M\eta^4 + N\eta^3 + O\eta^2 + P\eta + Q = 0$$

の代わりに $\eta = 1/\tau$ として

$$Q\tau^4 + P\tau^3 + O\tau^2 + N\tau + M = 0$$

を解く

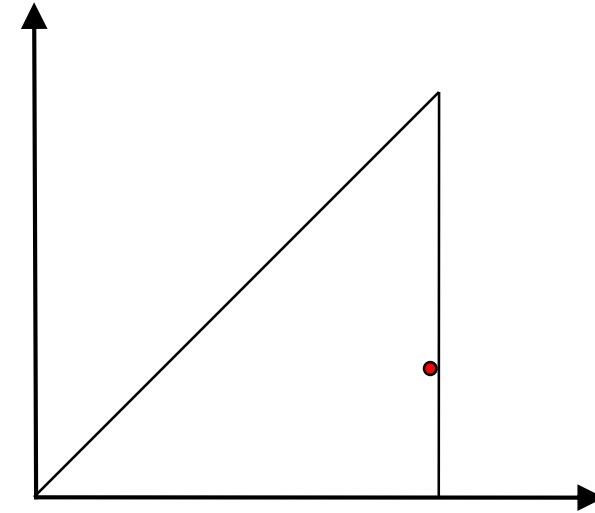
$\eta_1 : 6.2687708e+04$
 $\eta_2 : 2.3702748e+04$
 $\eta_3 : 1.000110929886432$
 $\eta_4 : 1.000110929890070$



$\eta_1 : 6.2687709e+04$
 $\eta_2 : 2.3702748e+04$
 $\eta_3 : 1.00062487$
 $\eta_4 : 0.99959698$

これで

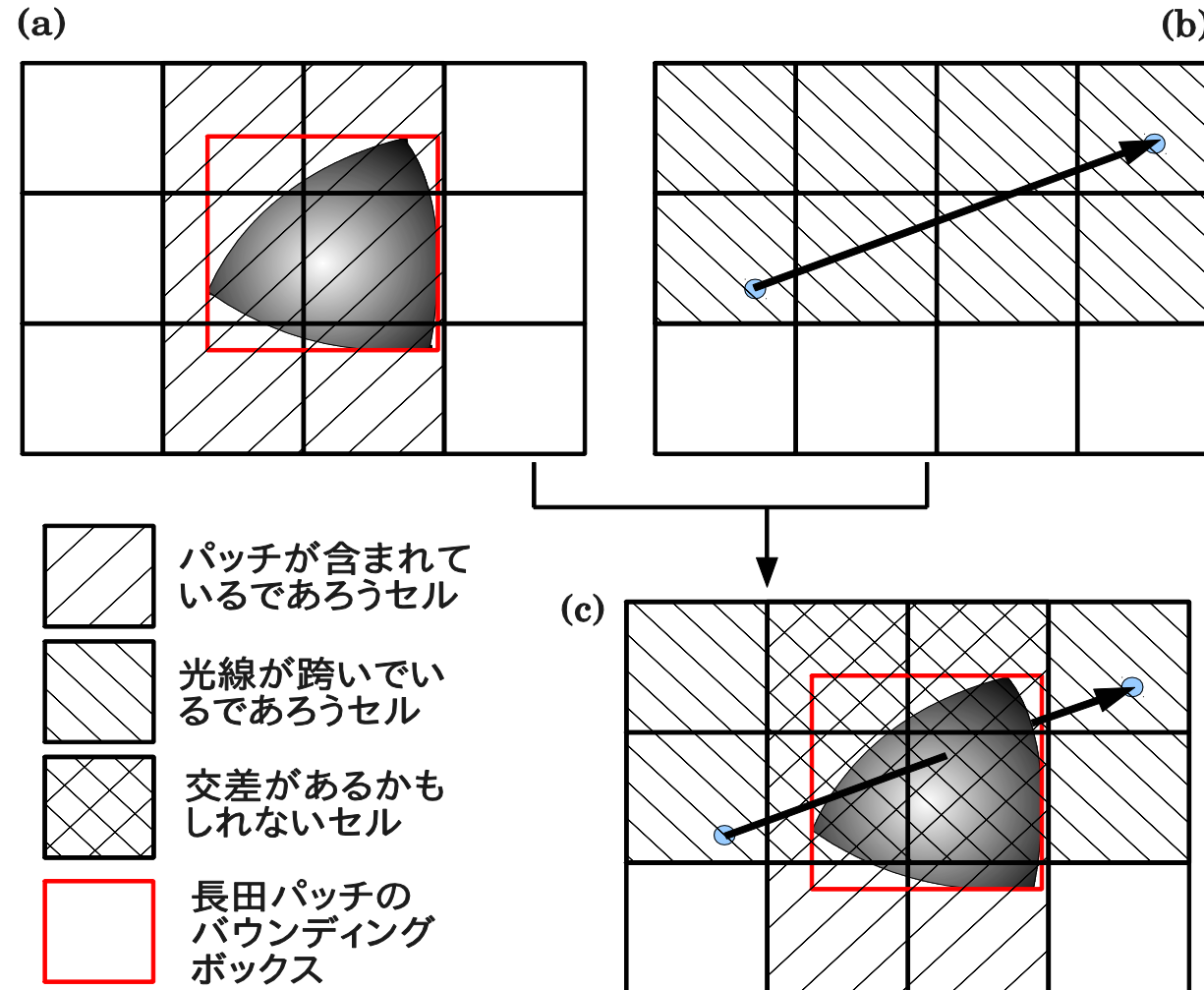
$f(\eta_3), f(\eta_4) < 10^{-21}$
を満たす精度の良い解が得られた



交差判定計算を軽く

- 4次式を全パッチ-全光線ペア に対して解くのは時間がかかる

2段階のバケツトサーチを使う



長田パッチのバウンディングボックス

1. 3つの頂点 (3 points, coordinates x,y,z):

$$\mathbf{x}_0, \mathbf{x}_1, \mathbf{x}_2$$

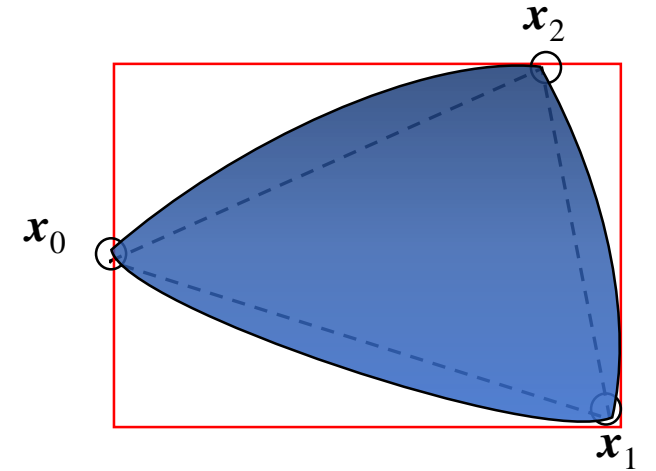
2. 边上での極値 (3 edges(j), coordinates x,y,z):

$$\frac{\partial \mathbf{x}_j(\xi)}{\partial \xi} = 0 \quad \rightarrow \quad \xi_j^x \quad \rightarrow \quad \mathbf{x}_j(\xi_j^x)$$

边上補間の極値
をとる

ローカル座標
を求める

边上補間に代入して
グローバル座標を求める



3. 面中での極値 (coordinates x,y,z):

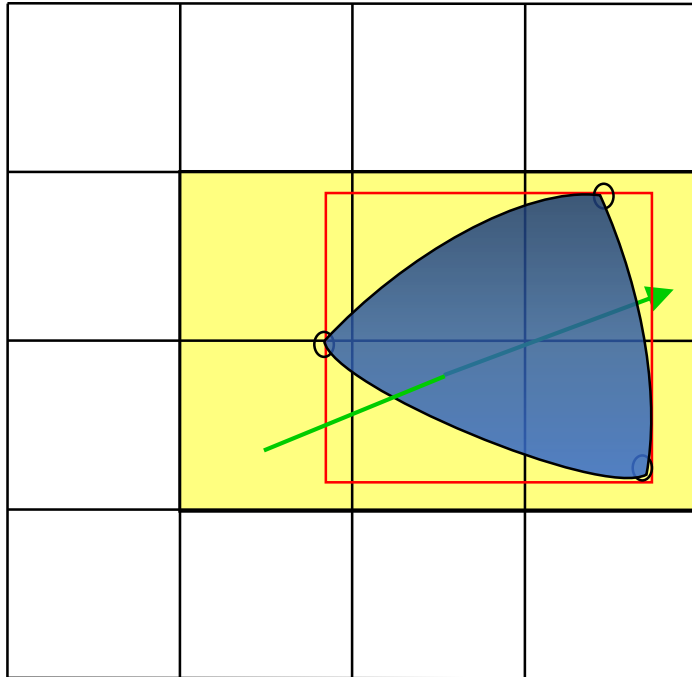
$$\begin{cases} \frac{\partial \mathbf{x}(\eta, \zeta)}{\partial \eta} = 0 \\ \frac{\partial \mathbf{x}(\eta, \zeta)}{\partial \zeta} = 0 \end{cases} \rightarrow \eta^x, \zeta^x \rightarrow \mathbf{x}(\eta^x, \zeta^x)$$

面上補間の極値
をとる

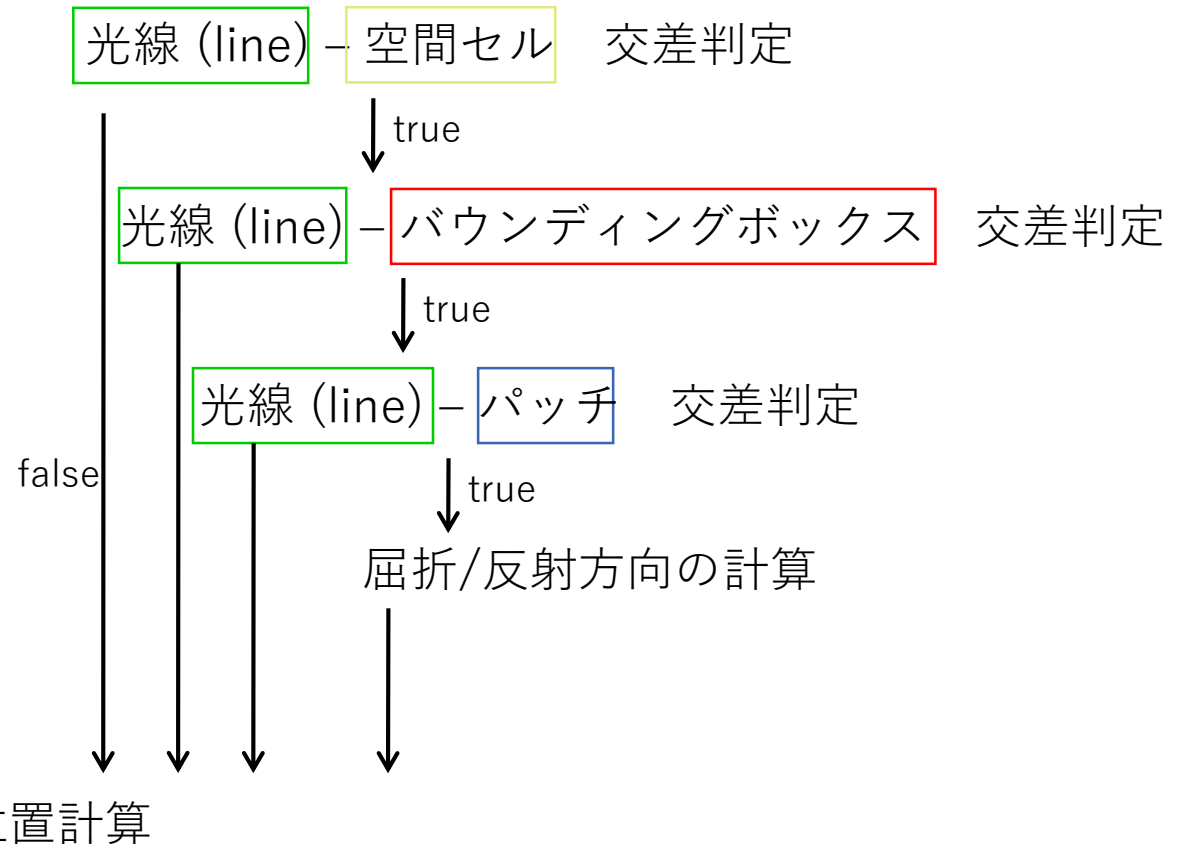
ローカル座標
を求める

面上補間に代入して
ローカル座標を求める

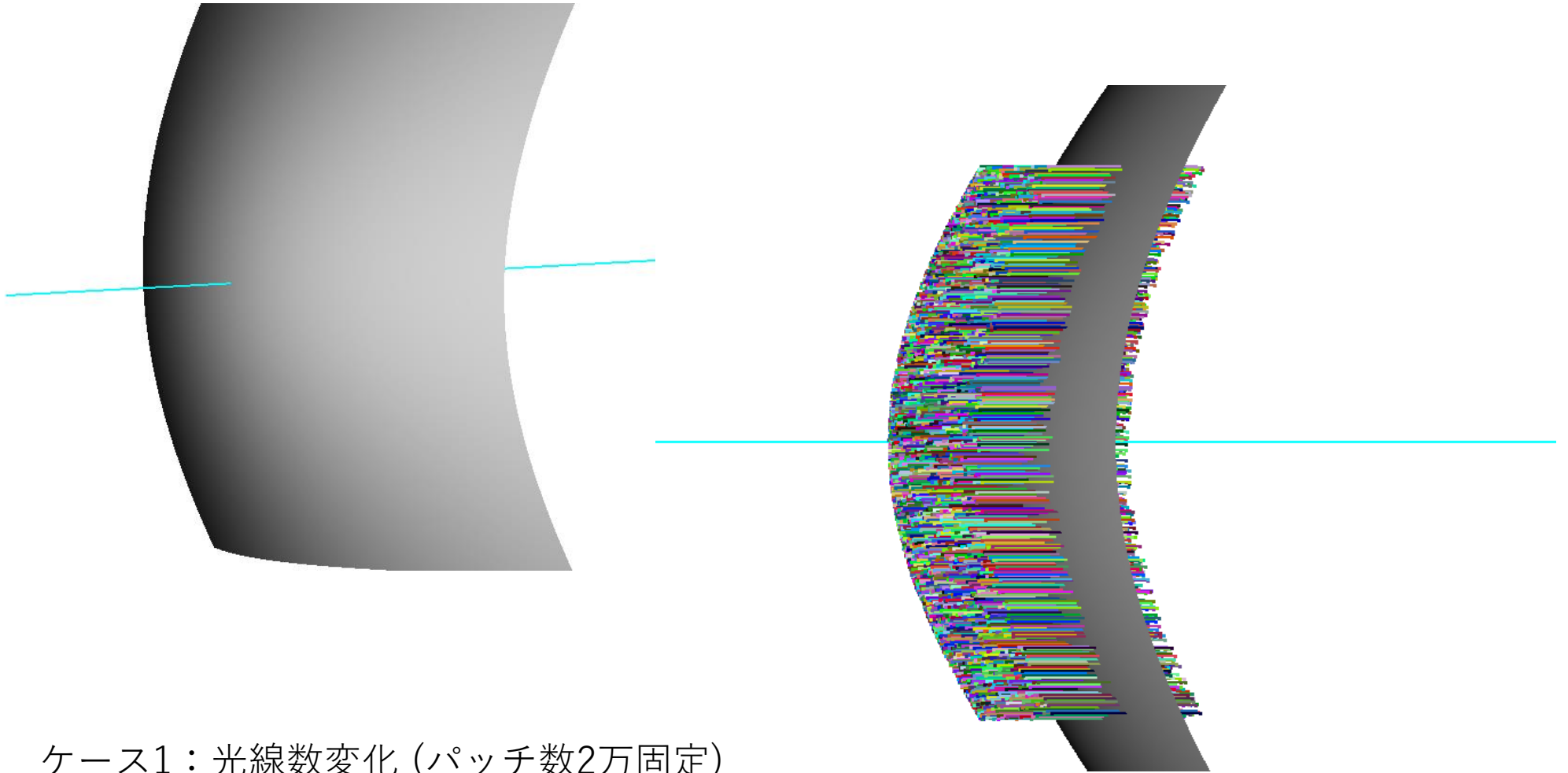
光線との交差判定



処理流れ:



交差テスト

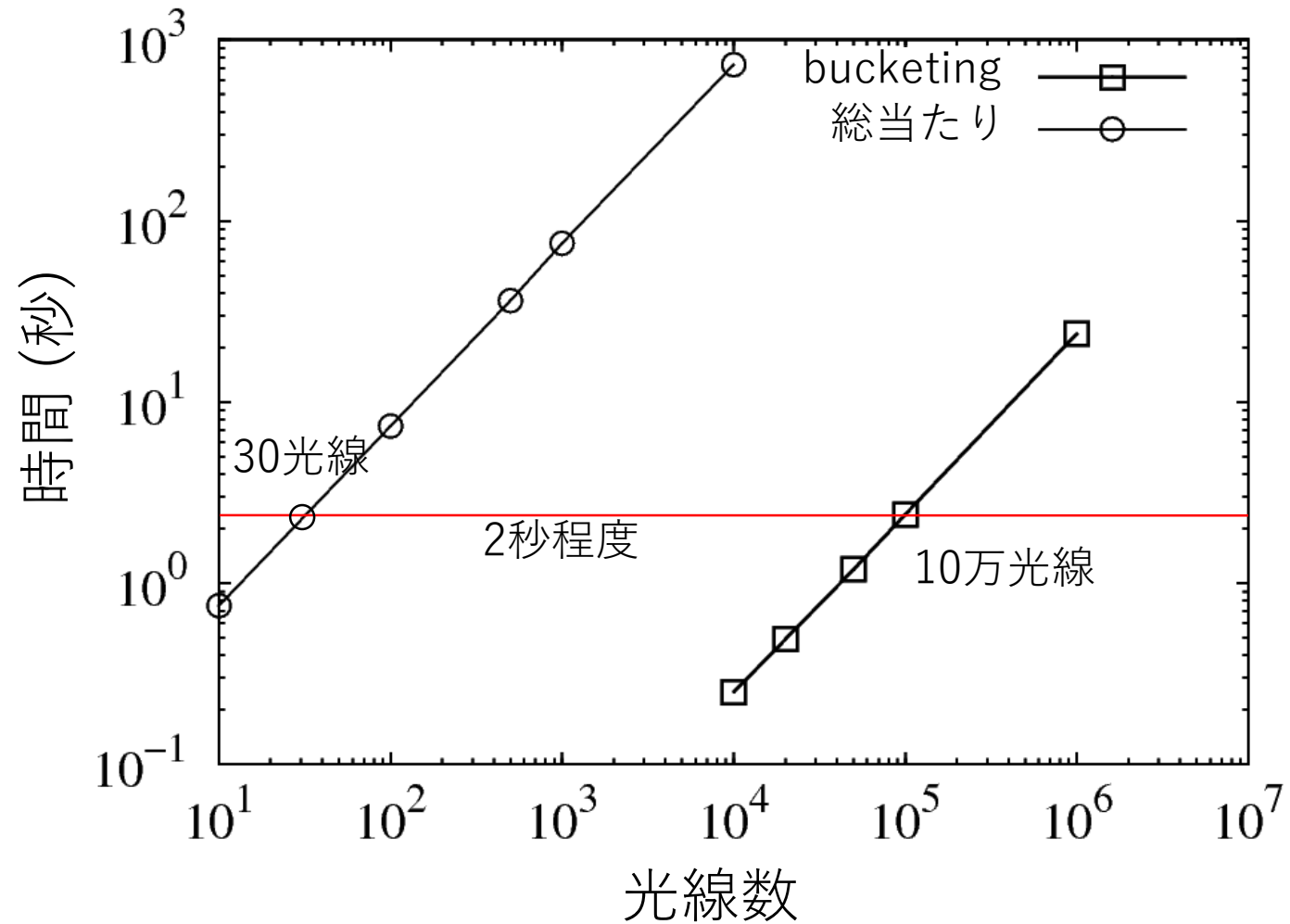


ケース1：光線数変化 (パッチ数2万固定)

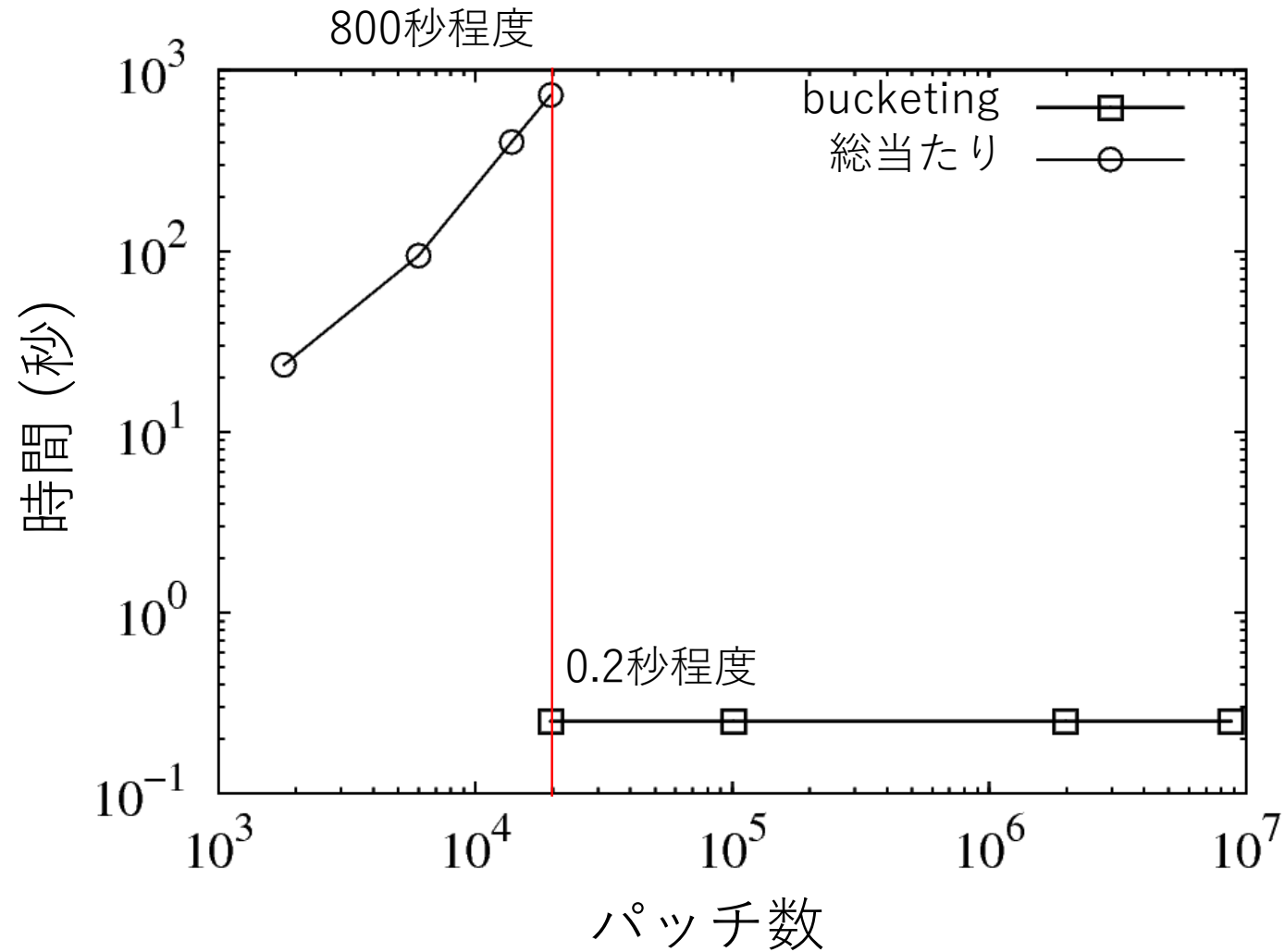
ケース2：パッチ数変化 (光線数1万固定)

計算機環境：Xeon 3.06GHz(コア 1 つ), RAM 12GB

ケース1：光線数変化（パッチ数2万固定）

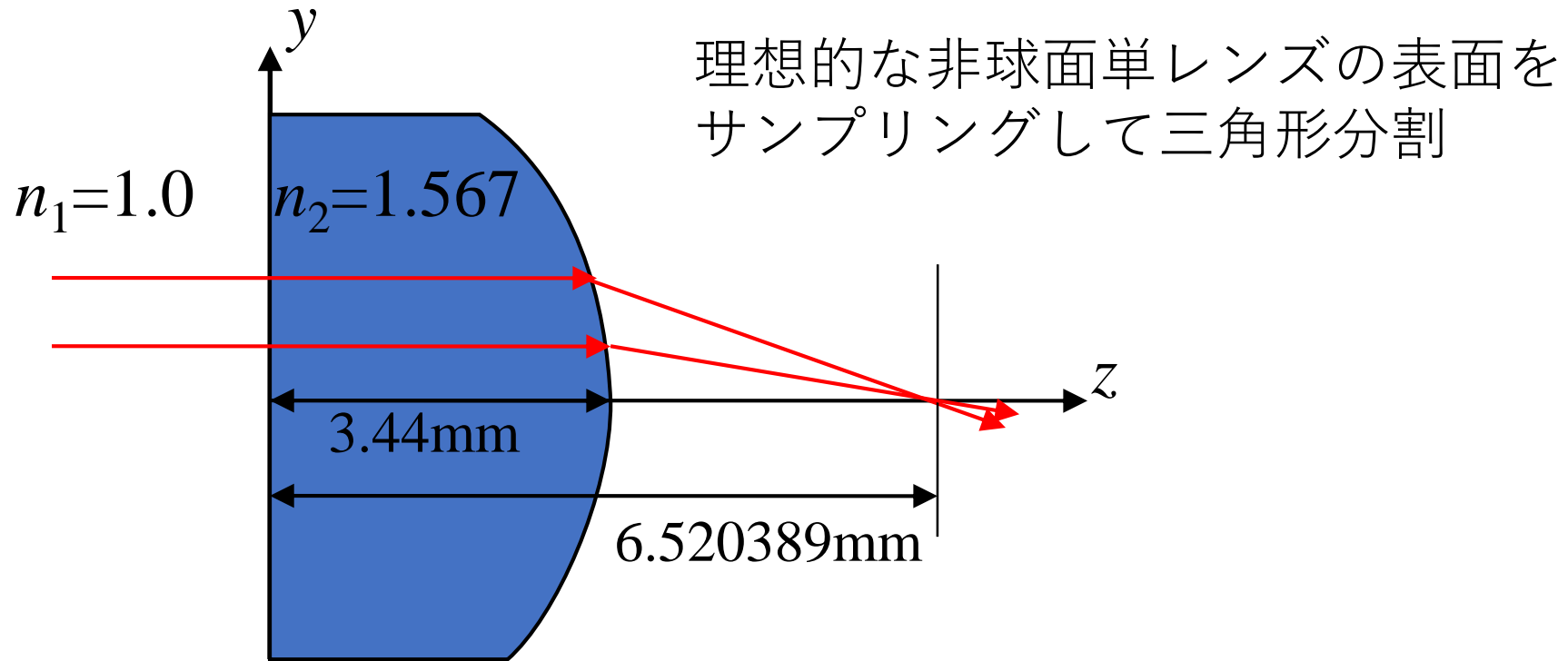


ケース2：パッチ数変化（光線数1万固定）

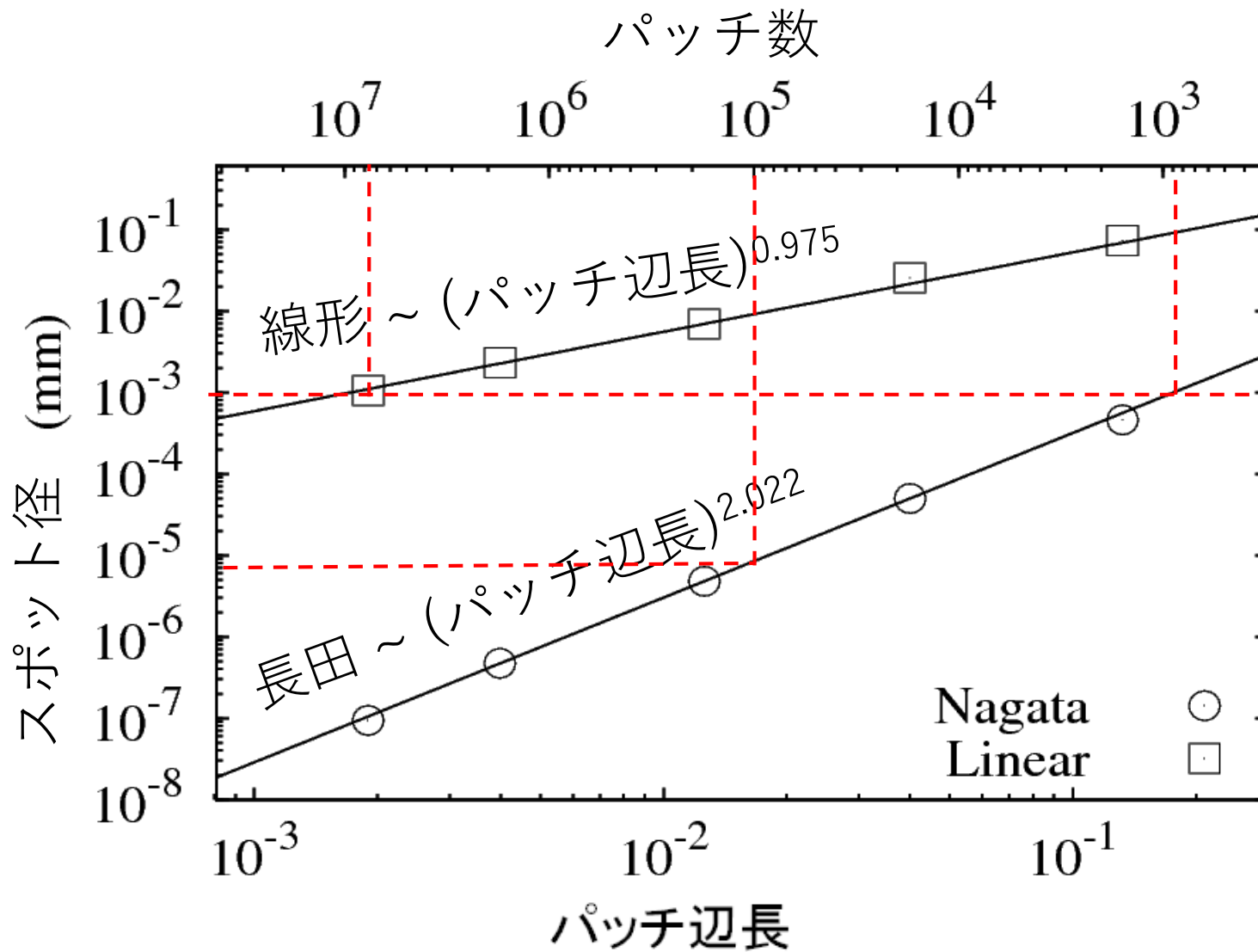


光線追跡によるスポット半径

長田パッチだと普通の三角形パッチに比べて
どのくらい精度良くなるのか？



スポット半径の収束



スポット半径10⁻³ → 線形: 800万パッチ
長田: 900パッチ

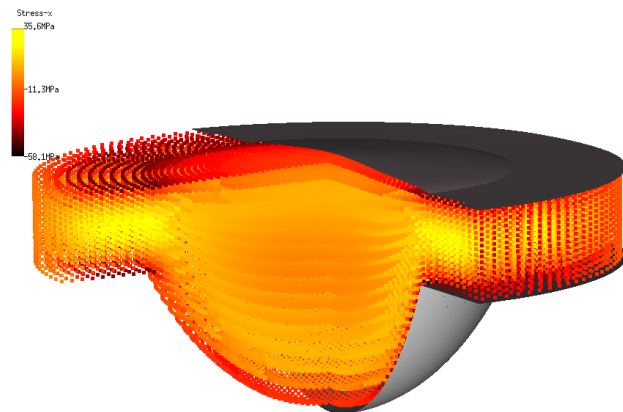
屈折率分布の表現

実際のレンズ
から計測

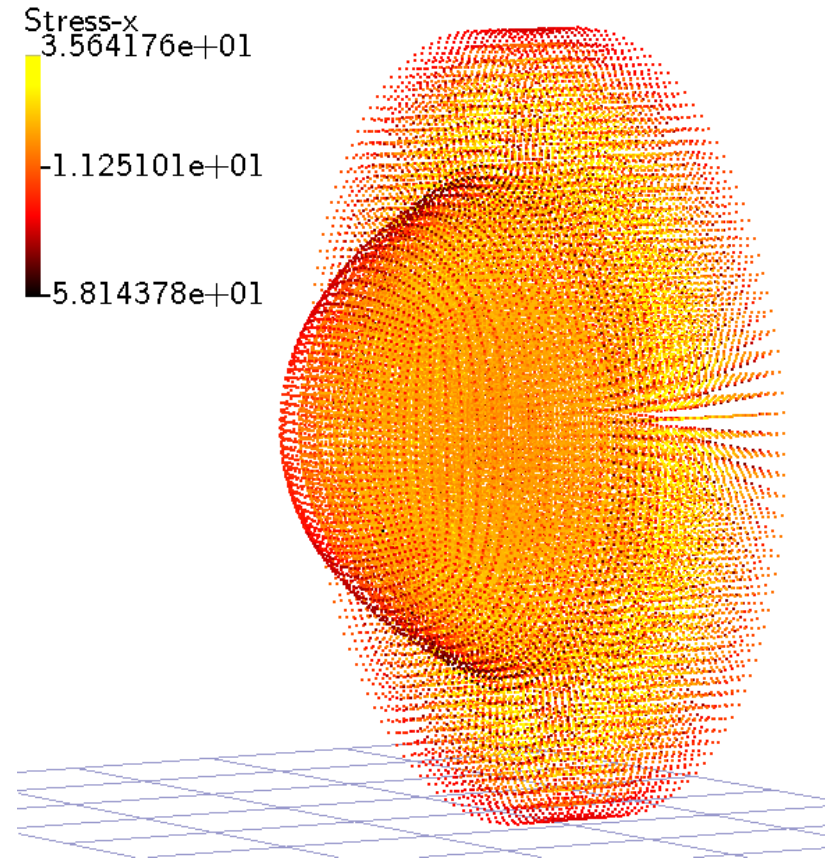
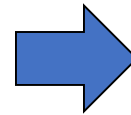


(研究としてX線を使った
幾つかの方法が存在する)

シミュレーション結果



屈折率を持つ点群



屈折率分布がある媒質中の光線追跡

- 光線方程式

$$\frac{d}{ds} \left[n(\mathbf{r}) \frac{d\mathbf{r}}{ds} \right] = \nabla n(\mathbf{r})$$

\mathbf{r} : 光線位置座標

n : 屈折率

$\frac{d}{ds}$: 光線経路に沿った微分

$$n dt = ds$$

↓ 変形

$$\frac{d^2 \mathbf{r}}{dt^2} = n \nabla n$$

↓ 分解

$$\begin{cases} \frac{d\mathbf{r}}{dt} = \mathbf{T} \\ \frac{d\mathbf{T}}{dt} = n \nabla n \end{cases}$$

\mathbf{T} : 光線方向

数値積分におけるステップ制御

- 許容誤差を指定し、その範囲で最大のステップ幅を自動的に選択する数値積分法

- Runge-Kutta-Fehlberg
埋め込み型公式

- 4次精度

$$\mathbf{r}_{n+1}^* = \mathbf{r}_n + \sum_{i=1}^m b_i^* \mathbf{k}_i + O(h^5)$$

- 5次精度

$$\mathbf{r}_{n+1} = \mathbf{r}_n + \sum_{i=1}^m b_i \mathbf{k}_i + O(h^6)$$

- 誤差推定 (5次-4次)

$$\Delta = \mathbf{r}_{n+1} - \mathbf{r}_{n+1}^*$$
$$\text{err} = \max(\Delta)$$

- ステップサイズ変更

$$h_{j+1} = S h_j \left(\frac{\varepsilon}{\text{err}} \right)^{\frac{1}{5}}$$

$S = 0.9$: 安全率,

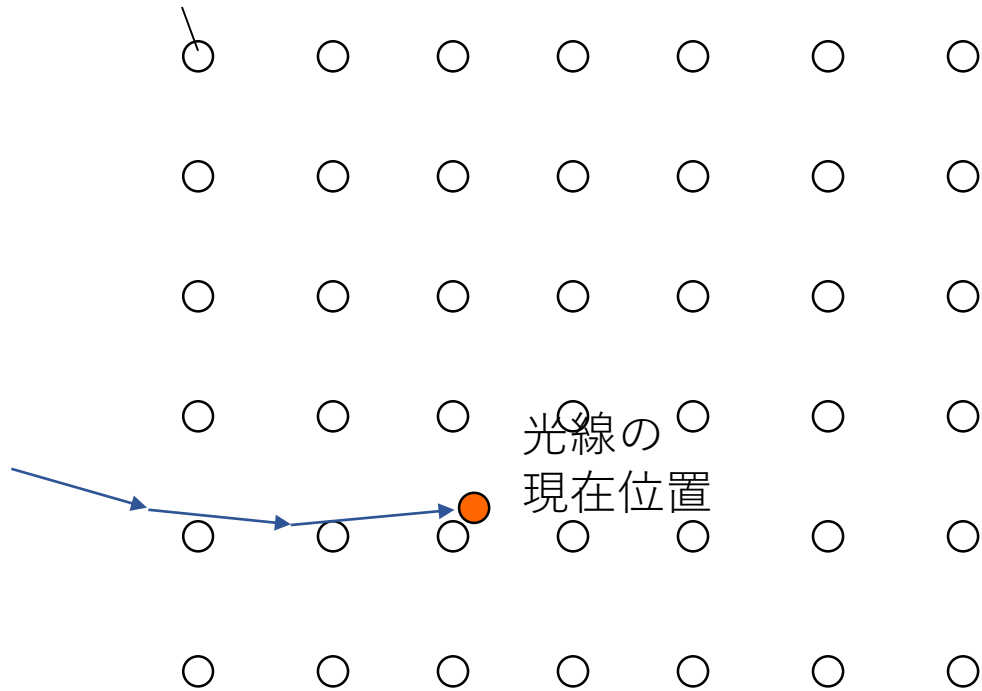
$\varepsilon =$ 機械精度程度 : 許容誤差

屈折率分布の再構成

- 光線方程式

$$\begin{cases} \frac{d\mathbf{r}}{dt} = \mathbf{T} \\ \frac{d\mathbf{T}}{dt} = n\nabla n \end{cases}$$

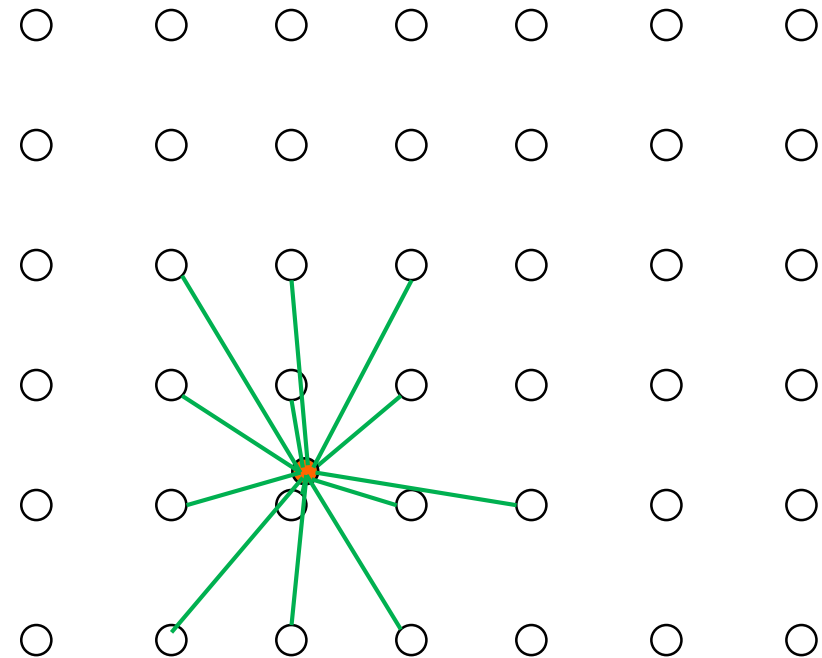
- 屈折率のサンプリング点



- 離散点から $n(\mathbf{x})$ を再構築

$$n(\mathbf{x}) = \mathbf{p}^T(\mathbf{x})\mathbf{a}(\mathbf{x})$$

$$\mathbf{p}^T(\mathbf{x}) = \{ 1, x, y, z, xy, yz, zx, xyz, x^2, y^2, z^2, x^2y, x^2z, y^2x, y^2z, z^2x, z^2y, x^3, y^3, z^3 \}$$



計算例 1 : 屈折率分布を持つ光ファイバー

光線初期条件 :

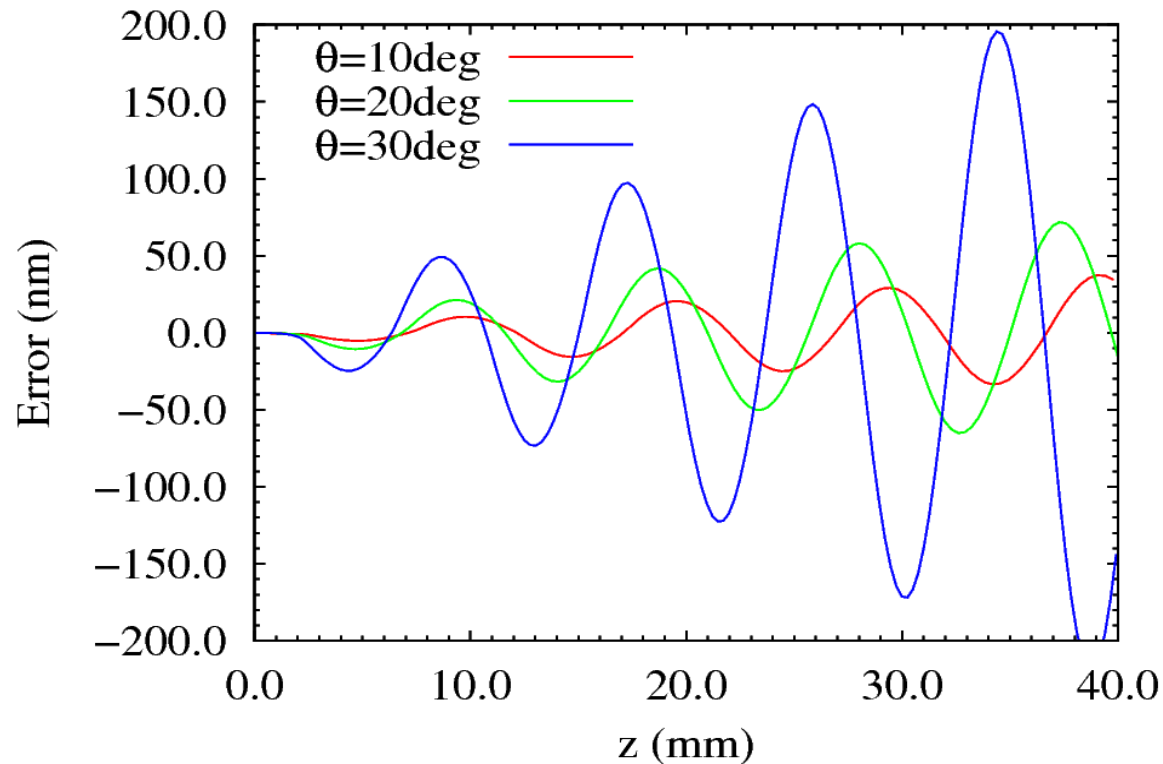
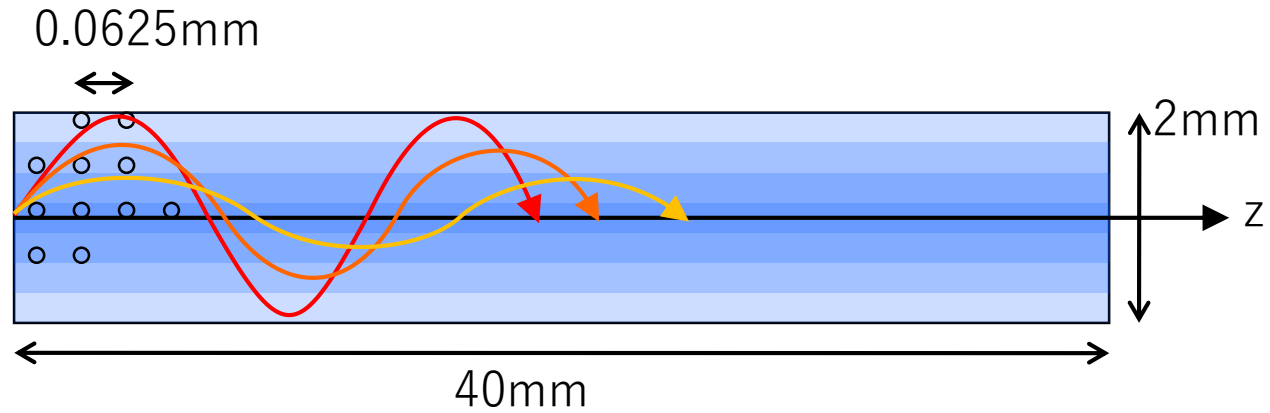
$$x_0 = 0$$

$$y_0 = 0$$

$$\theta_z = 10, 20, 30\text{deg}$$

屈折率分布関数

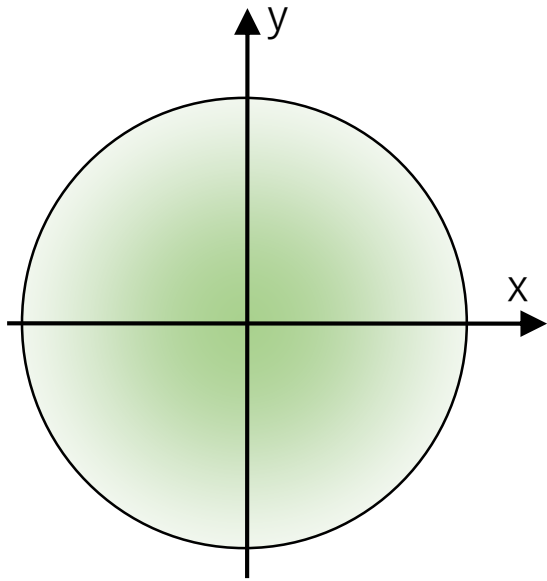
$$n = \sqrt{2.5 - (x^2 + y^2)}$$



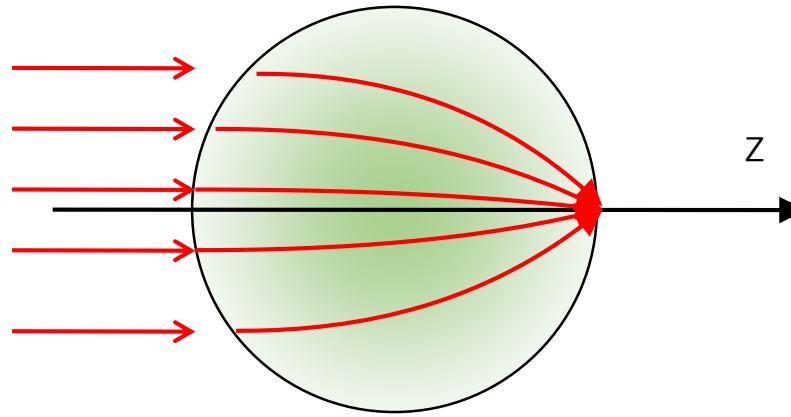
$\theta_z = 10^\circ$ err \sim 40nm
 $\theta_z = 20^\circ$ err \sim 80nm
 $\theta_z = 30^\circ$ err \sim 210nm

計算例 2 : Luneburgレンズ

➤ Luneburgレンズとは

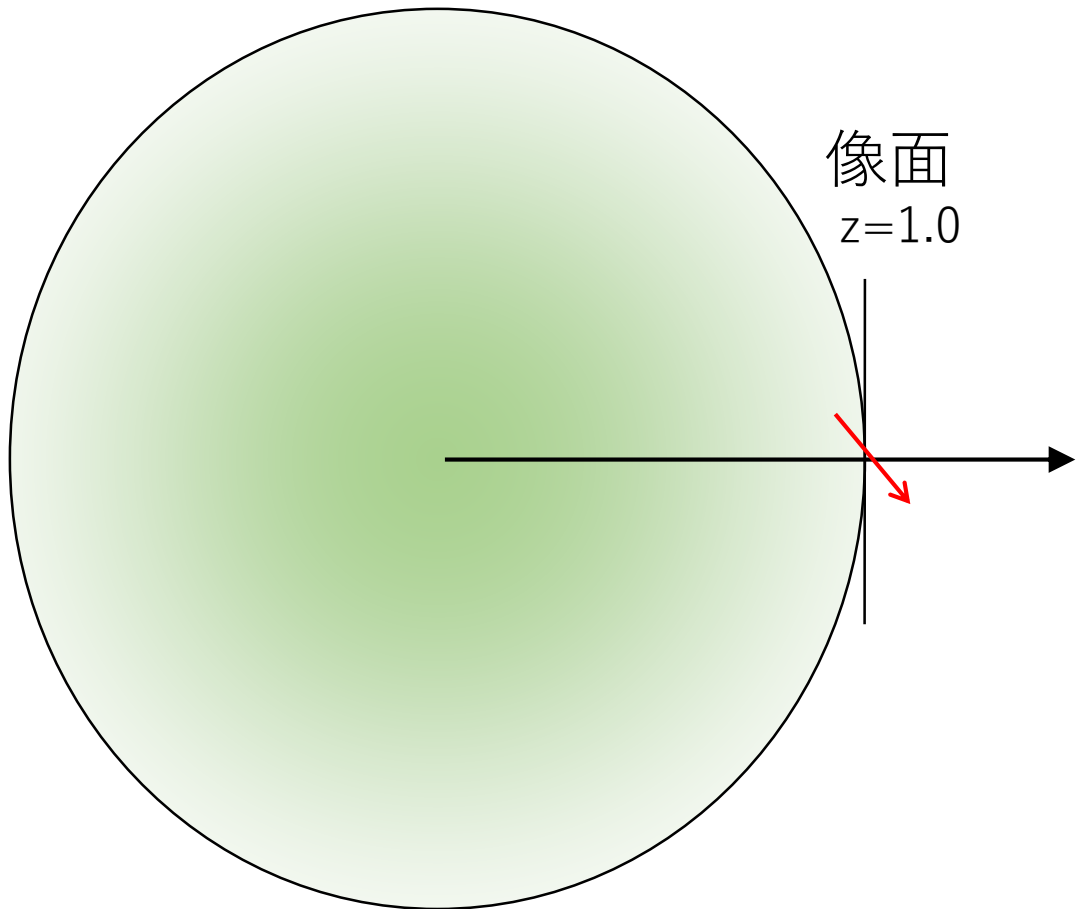


$$n = \sqrt{2 - (x^2 + y^2 + z^2)}$$

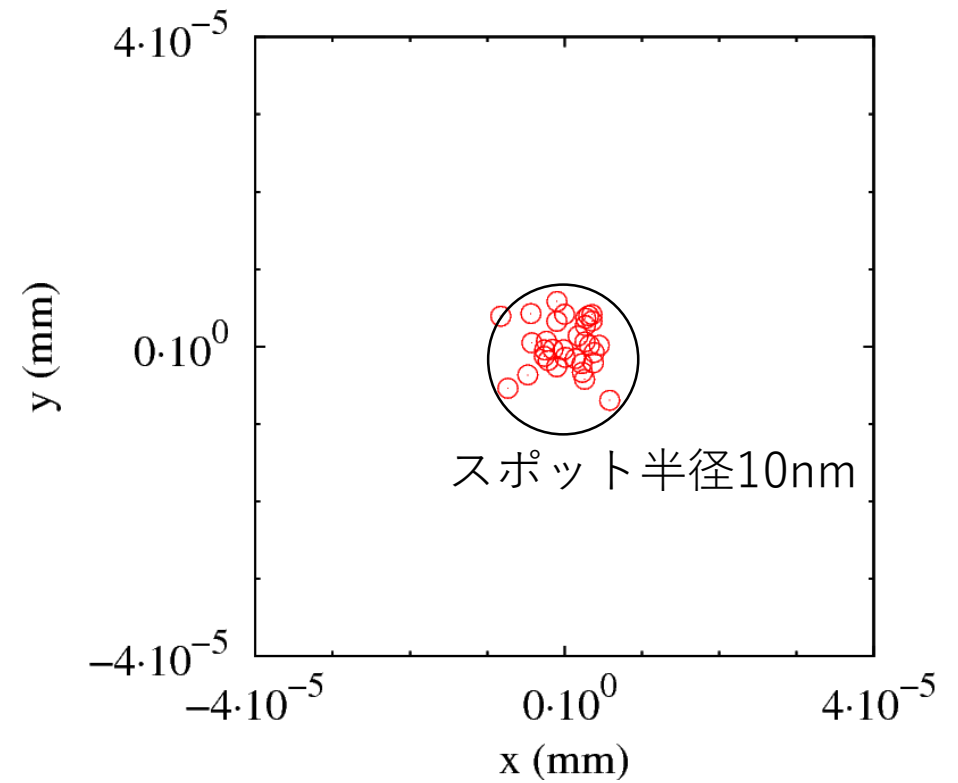


入射平行光線を内部屈折によっ
て
一点に収束させるようなレンズ

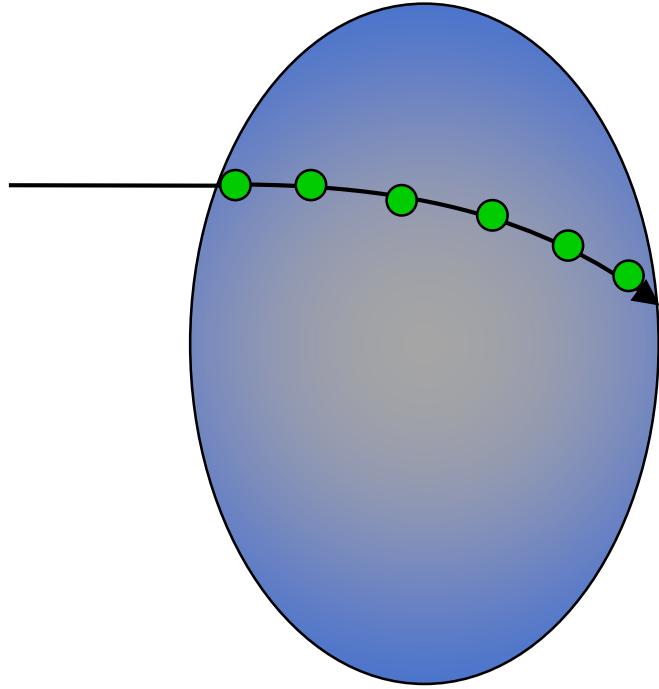
計算例 2 : Luneburgレンズ



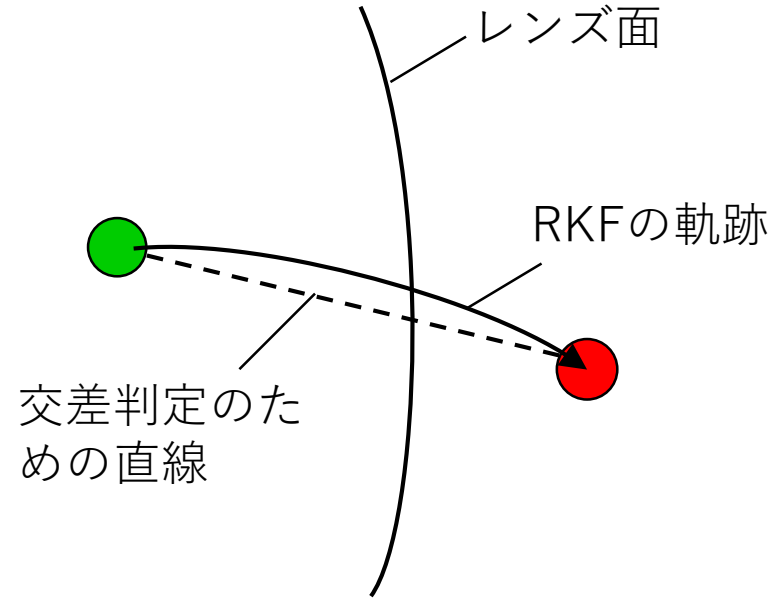
像面での光線の交差位置



GRIN媒質出口



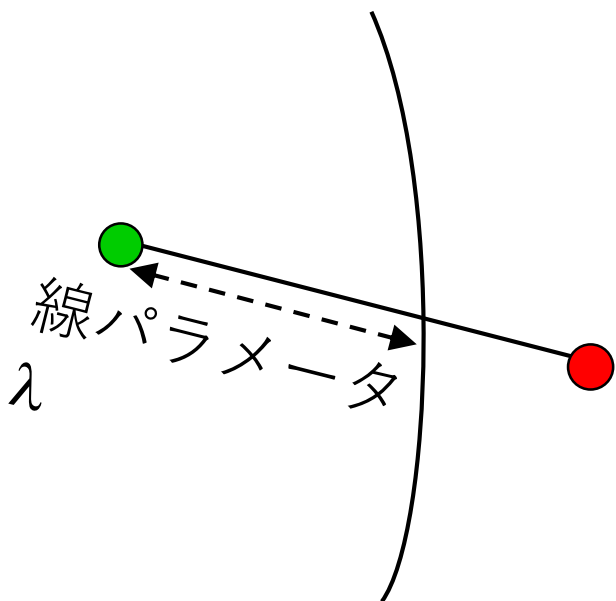
光線がGRIN媒質に入射して、出口に到達したとき



直線の場合だけ、パッチとの交差判定式が使える

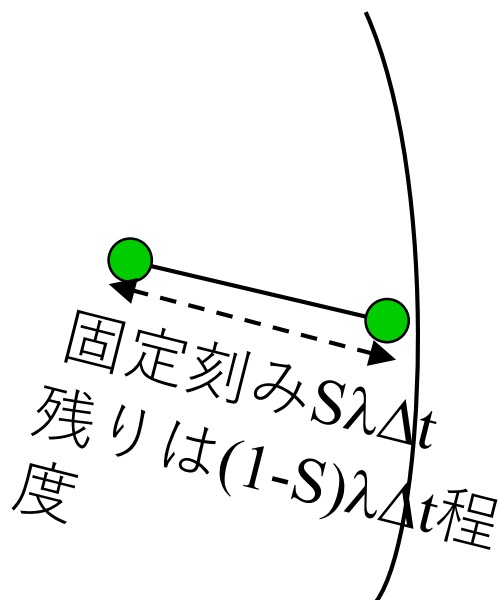
出口計算

交差が見つかる

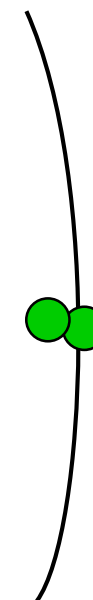


λ を掛けた固定刻み幅
で出口に出来るだけ近
づくSを求める

S=0.9を初期値で固定幅積分
交差したらS = S - 0.1でやりなおす

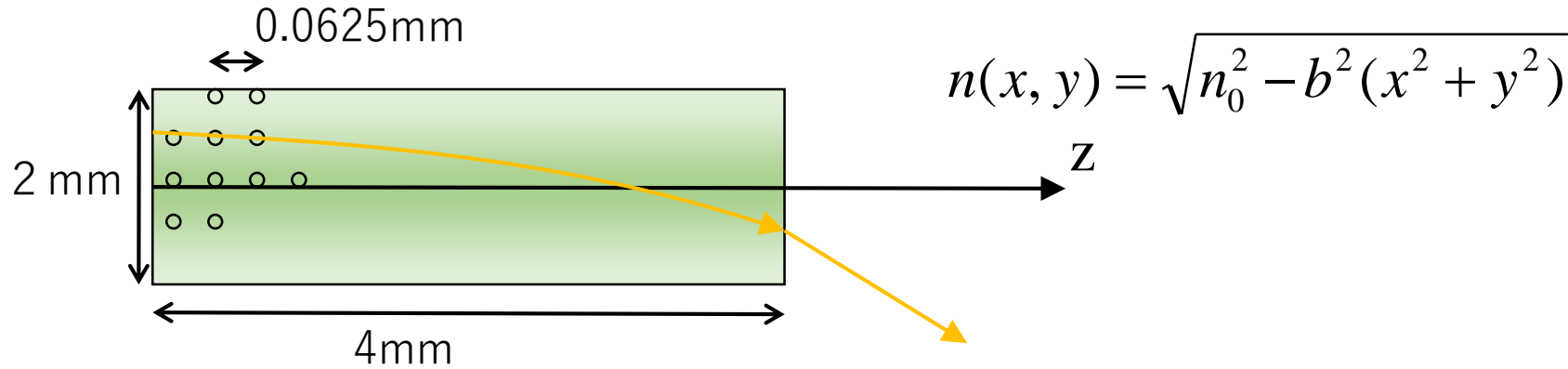


新しい刻み幅
 $\Delta t_{i+1} = (1 - S)\lambda\Delta t_i$
で交差するま
で



$\Delta t_{i+1} \times |T|$ が十分小さければ終了
そうでなければ見つかった
 λ を使ってSを求めるプロセスに戻る

出口精度のベンチマーク問題



GRIN内

z : 光線進行方向座標
 y_0 : 光線初期 y 位置
 $n_0 = n(0, y_0)$

$$\bar{z} = z \frac{b}{n_0}$$

$$y = y_0 \cos \bar{z}$$

$$t_y = -by_0 \sin \bar{z}$$

$$t_z = n_0$$

GRIN外

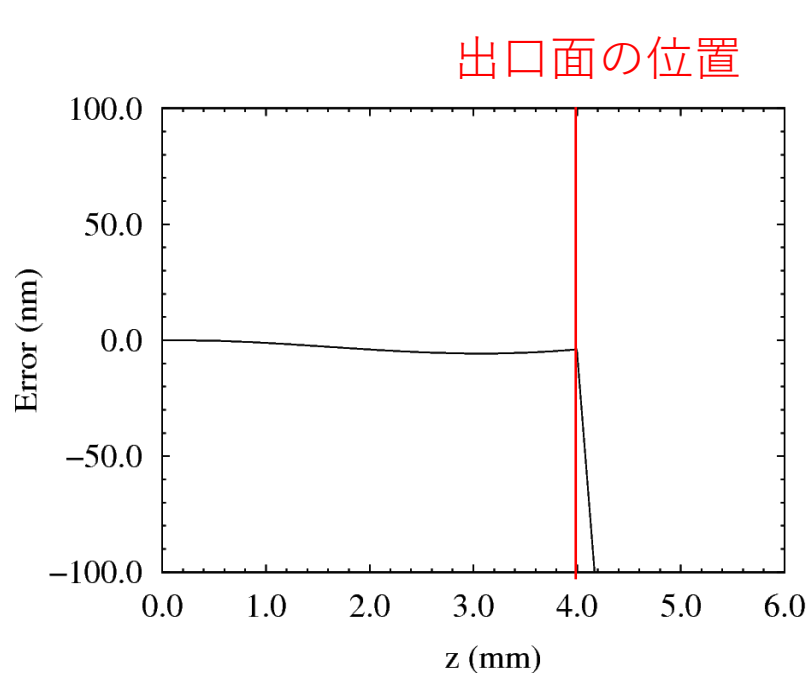
y_c, z_c : 出口での光線座標
 $n_{in} = n(0, y_c)$
 $n_{out} = 1.0$

$$\bar{z}_c = z_c \frac{b}{n_0}$$

$$q = \frac{n_{in}}{n_{out}} by_0 \sin \bar{z}_c$$

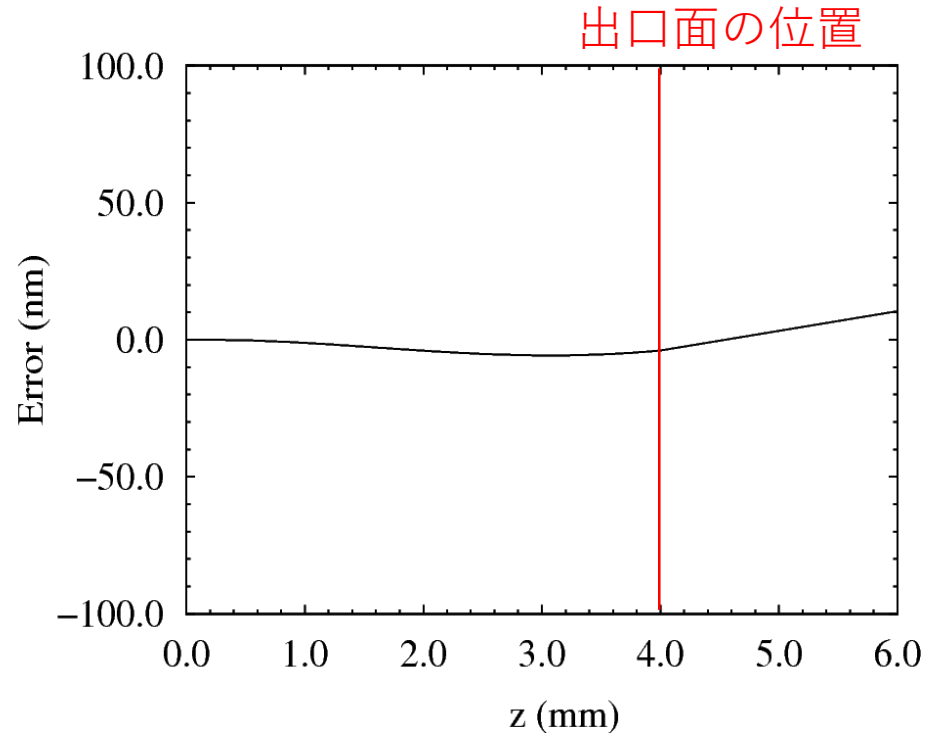
$$y = \frac{q}{\sqrt{1 - q^2}} (z - z_c) + y_c$$

出口計算付きの場合



何もしないと

z = 4.0 ^ま で	Err = 5e-6
z = 5.0	Err = 6e-4
z = 6.0	Err = 1e-3
z = 7.0	Err = 1.6e-3



出口ケア付き

z = 4.0	Err = -4e-6
z = 5.0	Err = 3e-6
z = 6.0	Err = 1e-5
z = 7.0	Err = 1.7e-5

出口計算の負荷

```
do { // 進展分が小さくなるまで繰り返す全体ループ

    do { // 出来るだけ近づくため(ループ1)
    } while ( 交差 );

    do { // 新しい交差位置を求める(ループ2)
    } while ( !交差 );

} while ( $\Delta t |\mathbf{T}| > 1e-10$ );
```

全体ループ 2回

1回目

ループ1 : 1回

ループ2 : 2回

2回目

ループ1 : 1回

ループ2 : 1回

隣接点は求め直さないの
で、MLSの係数も求め直さない

交差判定が一番計算コストが高い

デモ

まとめ

- 形状誤差や屈折率分布を考慮した光線追跡法
- 入力として、測定点群や、成型シミュレーション結果の点群を想定
- 表面形状再構成
 - 曲面パッチ(Nagataパッチ)を使った方法
 - 現実的な計算量で回折限界程度の精度が得られる
- 屈折率分布を扱う
 - 点群から区分的な連続関数に再構成
 - 数値積分の刻み幅自動制御
 - 出口付近で精度を落とさない方法